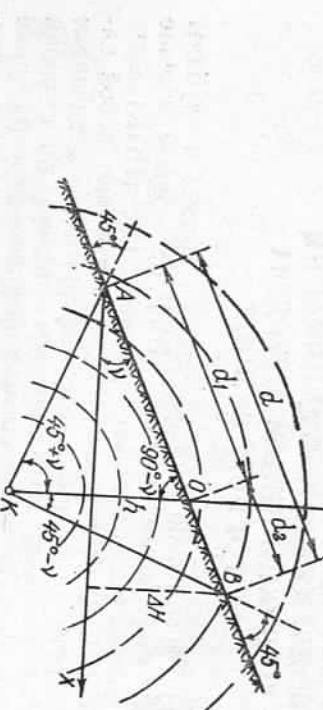


Точность определения глубины заложения можно оценить по формулам

$$m_h = \frac{1}{2 \cos v} \sqrt{m_d^2 + \frac{d^2 \operatorname{tg}^2 v m_v^2}{\rho}}; \quad (4)$$

$$m_h = \frac{d}{2} \sqrt{\frac{(d^2 - 2\Delta H^2)^2 m_d^2 + d^2 \Delta H^2 m_{\Delta H}^2}{(d^2 - \Delta H^2)^3}}. \quad (5)$$

При этом формула (4) получена на основании (1), а (5) — на основании (2).



Поперечный разрез горного склона с ПК.

Анализ (4) и (5) показал, чем большие h и v , тем точнее необходимо измерять d , ΔH или v . При съемке населенных пунктов и ПК в масштабе 1:500 измерения обычно выполняют рулеткой, теодолитом (T30, 2T30, Т5, 2T5) и нивелиром (Н-3). Приняв для расчета $d = 6$ м при $m_d = 0,01$ м, $\Delta H = 0,63$ м при $m_{\Delta H} = 0,01$ м, по-лучим $m_h = 0,006$ м при $m_{\Delta H} = 0,10$ м [2]. Следовательно, требуемую точность определения ΔH можно обеспечить тригонометрическим или техническим нивелированием, а также нивелированием с помощью указанных выше теодолитов.

Формулы (1), (2) и (3) справедливы и для ИПК с рамочными антеннами круговой формы.

Исходя из опыта полевых работ и определений проекций оси и глубины заложения ПК, рассмотренных в [1] и настоящей статье, можно сделать вывод, что установка держателя антенн в отвесное положение точнее и удобнее, а значит, и предпочтительнее перед наклонным. Поэтому, чтобы обеспечить необходимый наклон оси антennы относительно держателя, целесообразно делать их поворотными с фиксированными углами 0° , 45° и 90° . В таком случае для определения глубины заложения ПК будет справедлива формула, приведенная в [1].

Список литературы: 1. Дербас А. И. О редукции планово-высотного положения подземных коммуникаций, определенного индукционным методом на горном склоне. — Геодезия, картография и аэрофотосъемка, 1983, вып. 38, с. 14—16. 2. Инструкция по съемке и составлению планов подземных коммуникаций. — М.: Недра, 1978. — 44 с.

УДК 528(083.57)

Б. М. ДЖУМАН, Н. И. КРАВЦОВ, А. И. ТЕРЕШУК

НОМОГРАММЫ ДЛЯ ОПРЕДЕЛЕНИЯ ПОПРАВОК ЗА РЕФРАКЦИЮ В ВЫСОКОТОЧНОМ НИВЕЛИРОВАНИИ

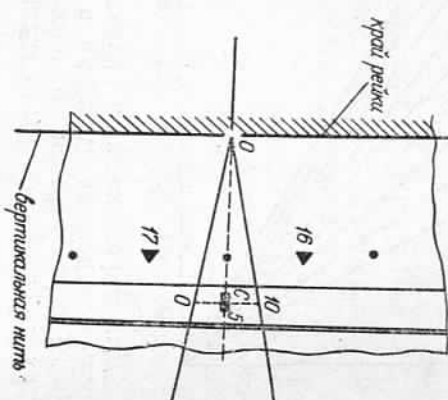
Известно, что амплитуда колебаний изображений характеризует степень влияния рефракции. Метод ее учета нашел применение в геометрическом нивелировании. Так, в [1, 2, 3] предложена методика наблюдений, позволяющая учитывать и исключать влияние нивелирной рефракции при непосредственном измерении с помощью вилки биссектора амплитуды колебания штриха инвариантной полосы рейки по четырехбалльной системе. На основании этого метода предложено фиксировать амплитуду на полный биссектор (рис. 1), т. е. вертикальную нить сетки устанавливать на левый край рейки, а расстояние между нитями условно делить на 10 частей, тем самым однозначная единица равна 0,1. Коэффициент перехода (k) от условных единиц к миллиметрам определяется двумя способами: инструментально — при помощи отсчетного барабана нивелира и лабораторно — измерением расстояния OC с последующим вычислением по формуле

$$k = 20C \cdot \operatorname{tg} \alpha/2, \quad (1)$$

где $\alpha = 50^\circ$ — угол клинообразного биссектора.

Среднее значение коэффициента (k) из многократных определений двумя способами составило 3,42 мм. Подставляя численное значение (k) в формулу из [4], получаем

$$\Delta h_k = k \left(\frac{V_n - V_s}{2} \right) \frac{d}{50} = 0.1 \cdot 3.42 \left(\frac{V_n - V_s}{2} \right) \frac{d}{50} = 0.171 (V_n - V_s) \frac{d}{50}, \quad (2)$$



где $V_n - V_s$ — разность измеренных амплитуд колебаний изображений штриха по передней и задней рейкам, выраженная в условных единицах; d — расстояние от нивелира до рейки.

Формула для определения поправки за рефракцию по измеренной разности амплитуд колебаний штриха по четырехбалльной системе имеет вид

$$\Delta h' = 0.43 (V' - V') \frac{d}{50}. \quad (3)$$

Здесь $V_p' - V_a'$ — разность измеренных амплитуд колебаний изображений штриха по передней и задней рейкам, выраженная в баллах.

Таким образом, используя (2) и (3) и задаваясь значениями полуразностей измеренных амплитуд по передней и задней рейкам от 0 до 2 с шагом 0,2 — в формуле (2) и (3), а также расстояниями от нивелира до рейки (d) от 20 до 60 м через 5 м, построены номограммы (рис. 2, 3) для вычисления поправок в превышения за влияние нивелирной рефракции.

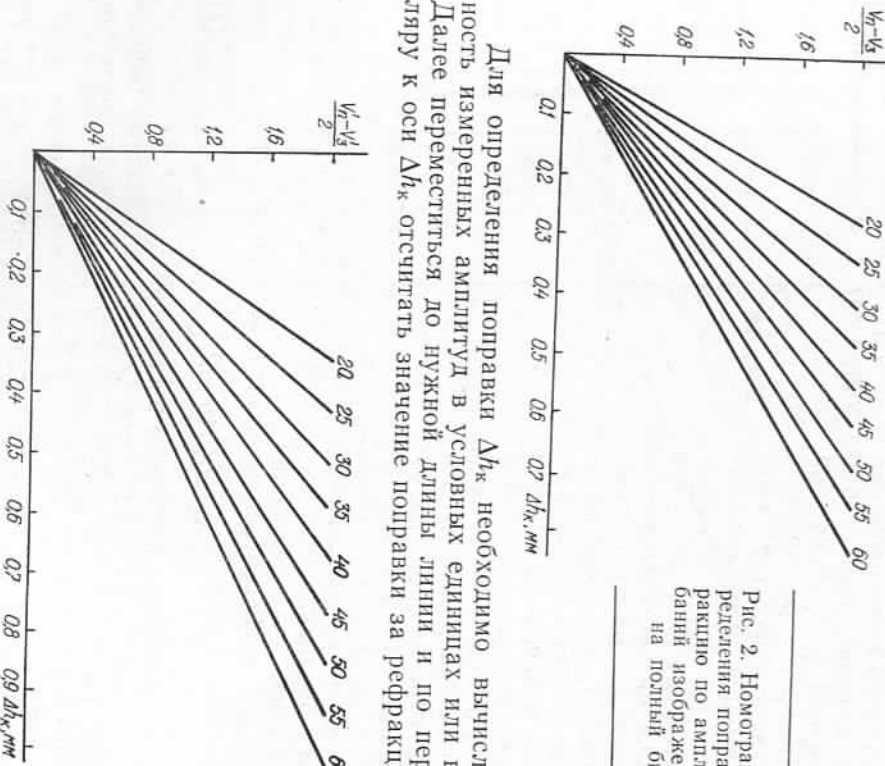


Рис. 2. Номограмма для определения поправок за рефракцию по амплитуде колебаний изображений штриха на полный биссектрису

Для определения поправки Δh_k необходимо вычислить разность измеренных амплитуд в условных единицах или в баллах. Далее переместиться до нужной длины линии и по перпендикуляру к оси Δh_k отсчитать значение поправки за рефракцию в мм.

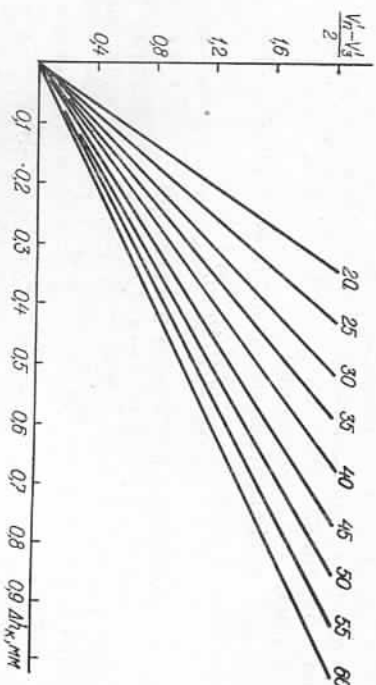


Рис. 3. Номограмма для определения поправок за рефракцию по амплитуде колебаний изображений штриха в четырехбалльной системе.

Предложенные номограммы сокращают время вычислительных работ и применяют в полевых условиях для определения и введения измеренных превышения поправок за рефракцию методом фиксации амплитуды колебаний изображений штриха на полный биссектор и по четырехбалльной системе.

УДК 551.24:528.48
Э. М. ЕВСЕЕВА, В. В. КИРИЧУК, Е. Б. ГРАФОВ

СОВРЕМЕННЫЕ ВЕРТИКАЛЬНЫЕ ДВИЖЕНИЯ ЗЕМНОЙ ПОВЕРХНОСТИ ВОСТОЧНОЙ ЕВРОПЫ И АКТИВНЫЕ ГЛУБИННЫЕ СТРУКТУРЫ

Вертикальные смещения земной поверхности представляют собой суммарное действие ряда факторов, проявляющихся в суперпозиции движений разного порядка, которые В. Белоусов связывает с «многоэтажностью» процесса дифференциации материала Земли: «Каждый порядок движений имеет свою глубину происхождения, а на поверхности они суммируются и как бы интерферируют друг с другом» [2, с. 17].

Одной из возможных количественных характеристик вертикальных движений поверхности, как известно, являются скорости современных вертикальных движений земной поверхности (СВДЗП). Очевидно, если рассматривать поле скоростей СВДЗП на достаточно обширной территории как реализацию двумерного случайного процесса на плоскости, то представляет интерес исследовать взаимосвязь статистик этого поля с геоморфоструктурами территории, различными по масштабу и глубине заложения.

Исходной информацией для таких исследований послужила «Карта скоростей СВДЗК Восточной Европы» [8], на основе которой простым интерполированием были определены значения скоростей, отнесенных к центрам одноградусных трапеций, в области, ограниченной $40^\circ \leq \varphi \leq 60^\circ$ и $10^\circ \leq \lambda \leq 50^\circ$. Полученное таким образом поле скоростей СВДЗП в дальнейшем было подвергнуто слаживанию с помощью усреднения, и для каждого из вариантов слаженных полей по известным формулам [5] вычислены статистические средние, дисперсии, стандарты. При этом усреднение выполнялось двояким образом: последовательное вычисление значений скорости СВДЗП для центров трапеций $2 \times 2^\circ$, $4 \times 4^\circ$, $8 \times 8^\circ$ путем усреднения исходных одноградусных трапеций при размерах окрестности скольжения $3 \times 3^\circ$, $5 \times 5^\circ$, $7 \times 7^\circ$, $9 \times 9^\circ$.

* Последний метод усреднения использован в работе Рябоштана Ю. С. и др. «К методике применения данных о современных движениях земной коры для изучения глубинного строения регионов (на примере Донбасса)», представленной на 10-м Международном совещании по изучению современных движений земной коры на геодинамических полигонах СССР.

Список литературы: 1. Джурман Б. И., Павлов П. В. Станции И. И. Метод определения нивелирной рефракции. — Геодезия, картография и аэрофотосъемка, 1979, вып. 30, с. 66—69. 2. Павлов П. В. Проблемы высокоточного съемки. — Львов: Вища школа. Изд-во при Львов. ун-те, 1980. — 124 с. 3. Павлов П. В. Учет рефракции на результаты нивелирования I и II классов по колебаниям изображений. — Геодезия, картография и аэрофотосъемка, 1978, вып. 28, с. 96—100. 4. Станции И. И. Разработка и исследование методов учета нивелирной рефракции в турбулентной атмосфере. Автореф. дис. ... канд. наук. — Львов, 1983. — 24 с.

Статья поступила в редакцию 20.04.85